

01;02

©1995 г.

## АСИМПТОТИЧЕСКИЕ ОЦЕНКИ ДЛЯ СЕЧЕНИЙ МНОГОЭЛЕКТРОННОЙ ИОНИЗАЦИИ АТОМА УДАРОМ БЫСТРОГО ТЯЖЕЛОГО ИОНА

*А.Б. Войткис, А.В. Коваль*

Институт прикладной лазерной физики, Ташкент, Узбекистан

(Поступило в Редакцию 24 августа 1994 г.

В окончательной редакции 22 февраля 1995 г.)

Рассматривается многоэлектронная ионизация атома ударом быстрого многозарядного иона (МЗИ) в области параметров задачи  $v^2 \gg Z \gtrsim v \gg v_0$ ,  $n \gg 1$  ( $Z$ ,  $v$  — соответственно заряд и скорость МЗИ,  $v_0$  — характерные скорости рассматриваемых электронов в атоме,  $n$  — число вылетающих электронов; атомные единицы). Получены простые асимптотические формулы для сечений ионизации.

Процесс столкновения быстрого многозарядного иона (МЗИ) с многоэлектронным атомом представляет собой весьма интересный как в фундаментальном, так и в прикладном отношении вид задачи многих тел [1,2]. В теоретическом исследовании различных аспектов этой сложной задачи (ионизация и перезарядка, энергии и импульсы ионов отдачи и т. д.) вне рамок теории возмущений по полю МЗИ наибольший прогресс достигнут, по-видимому, при использовании метода классических траекторий Монте-Карло (МКТМК), который представляет собой весьма мощный численный метод решения. МКТМК дает достаточно хорошее согласие с экспериментом как для полных сечений ионизации (перезарядки), так и при нахождении различных дифференциальных сечений, энергий ионов отдачи и т. д. [1].

В то же время, на наш взгляд, представляет достаточный интерес (особенно для экспериментаторов) нахождение аналитических оценок физических величин, которые бы объединяли простоту и наглядность подхода к проблеме и разумное согласие с экспериментальными данными. В настоящей работе мы предлагаем простые асимптотические оценки для сечений многоэлектронной ионизации атомов при столкновениях с быстрыми МЗИ. Рассматривается следующая область параметров задачи  $v^2 \gg Z \gtrsim v \gg v_0$ ,  $n \gg 1$  ( $Z$ ,  $v$  — соответственно заряд и скорость МЗИ;  $v_0$  — характерные скорости рассматриваемых электронов в атоме;  $n$  — число электронов, покидающих атом; здесь и

ниже, если специально не оговорено иное, используются ат. ед.). При этом мы используем для описания процесса столкновения "модифицированную" модель независимых электронов и приближение внезапных возмущений [3,4].

В модели независимых электронов вероятность  $W_n$  одновременного отрыва  $n$  электронов из атомной оболочки, содержащей  $N$  электронов, определяется следующим выражением [2]

$$W_n(b) = \binom{N}{n} w^n (1-w)^{N-n}, \quad (1)$$

где  $w(b)$  — вероятность одноэлектронного (ионизационного) перехода [2],  $b$  — прицельный параметр,  $\binom{N}{n}$  — биноминальные коэффициенты.

В выражении (1) вероятность  $w(b)$  не зависит от числа вылетающих электронов. Однако очевидно, что физические условия, которые сильно влияют на величину  $w(b)$ , меняются при изменении  $n$ . Например, дальнодействующее поле иона отдачи, в котором движется удаляющийся электрон, существенно зависит от степени ионизации  $n$ ; средняя энергия связи (на один электрон) также зависит от  $n$  (см. по этому поводу [2 с. 272] и цитируемую там литературу). Поэтому, хотя ниже мы и будем использовать выражение (1), при этом входящая туда вероятность  $w(b)$  будет рассматриваться как зависящая от зарядового состояния иона отдачи  $w = w_n(b)$ . Отметим, что введение зависимости вероятности одноэлектронного перехода от числа покидающих атом электронов уже использовалось в литературе (например, в [5,6] при описании ионизации гелия). Сечение ионизации определяется интегрированием "модифицированной" вероятности  $w_n(b)$  по всем прицельным параметрам

$$\sigma_n = 2\pi \binom{N}{n} \int_0^\infty db b(w_n)^n (1-w_n)^{N-n}. \quad (2)$$

Мы будем предполагать, что вероятности  $w_n(b)$  могут быть приближенно описаны как вероятности ионизации водородоподобных ионов с соответствующим эффективным зарядом ядра (остова)  $z_n$  (см. также [5,6]), т. е.  $w_n(b) = w(Z, v; z_n; b)$ . Функция  $w(Z, v; z_n; b)$  удовлетворяет простому соотношению подобия, которое следует из уравнения Шредингера без дополнительных упрощений (см., например, [7,8]) и поэтому может рассматриваться как точное

$$w(Z, v; z_n; b) = w(Z/z_n, v/z_n; 1; bz_n). \quad (3)$$

Для описания столкновений быстрых частиц с атомами ( $v \gg v_0$ ) в области прицельных параметров  $b \ll v/z_n^2$  применимо приближение внезапных возмущений [3,4]. В нулевом порядке этого приближения, которое применимо при  $Z \ll v^2$  (см., например, [9,10]), амплитуда атомного перехода зависит только от отношения  $Z/v$  и мы имеем более простое соотношение:

$$w(Z, v; z_n; b) = w(Z, v; 1; bz_n). \quad (4)$$

Используя (2) и (4), получаем

$$\begin{aligned}\sigma_n &= 2\pi \binom{N}{n} \int_0^\infty db b \left(w(Z, v; z_n; b)\right)^n \left(1 - w(Z, v; z_n; b)\right)^{N-n} = \\ &= 2\pi \binom{N}{n} \frac{1}{z_n^2} \int_0^\infty db b w_a^n (1 - w_a)^{N-n},\end{aligned}\quad (5)$$

где  $w_a = w(Z, v; 1; b)$  — вероятность ионизации атома водорода.

Основной вклад в сечения многоэлектронной ионизации атома вносят столкновения в области прицельных параметров, где приближение внезапных возмущений применимо [11]. Поэтому использование в выражении (5) для всех прицельных параметров скейлинга (4) к заметной ошибке не приводит (об оценке этой ошибки см. [11]).

Численные расчеты МКТМК (см., например, [12,13]) показывают, что при  $Z \gtrsim v \gg v_0$  вероятность  $w_a(b)$  достигает в области малых прицельных параметров насыщения, очень мало отличаясь при этом от единицы. Эти расчеты, а также проведенный при выполнении настоящей работы квантово-механический расчет в нулевом приближении теории внезапных возмущений [10] показывают (рис. 1), что при  $v^2 \gg Z \gtrsim v \gg v_0$  можно разделить всю область прицельных параметров на три подобласти: область малых прицельных параметров  $b < b_s$ , где вероятность  $w(b)$  насыщается и очень близка к единице; область промежуточных прицельных параметров  $b > b_s$ , где эта вероятность убывает с ростом  $b$ , оставаясь все еще довольно значительной по величине; область больших прицельных параметров  $b \gg b_s$  ( $b \gg Z/v$ ), где вероятность  $w_a(b)$  мала и может быть рассчитана в первом порядке теории возмущений по полю МЗИ, что дает при  $Z/v \ll b \ll v$   $w_a(b) = \beta Z^2/b^2 v^2$  (коэффициент  $\beta$  зависит от того, в каком дискретном состоянии находился исходно атом водорода, например  $\beta = 4 \cdot 0.283, 4 \cdot 0.82, 4 \cdot 0.53$  соответственно для  $1S, 2S, 2P$  исходных состояний [14] (для  $2P$  проводится усреднение по проекции углового момента); отметим также что при  $Z/v \ll b \ll v$  применимо и приближение внезапных возмущений [10]). Анализ численных расчетов и аналитические оценки [9,15] приводят к  $b_s \sim Z/v$ .

Нетрудно убедиться непосредственным дифференцированием, что максимум вероятности  $W_n(b)$  при  $n < N$  находится в точке  $b_n > b_s$ , такой что  $w_a(b_n) = n/N$ . Можно ожидать, что при  $n \gg 1$  этот максимум является узким. Действительно, при  $b > b_n$  функция  $W_n(b)$  должна быстро уменьшаться из-за сомножителя  $w_a^n$ , при  $b < b_n$  эта функция убывает из-за  $(1 - w_a)^{N-n}$ . Если расстояние между точками  $b_s$  и  $b_n$  мало, то функция  $W_n(b)$  должна быстро убывать и при  $b < b_n$ . Покажем непосредственным расчетом, что функция  $W_n(b)$  имеет узкий максимум, если точка  $b_n$  лежит в области промежуточных прицельных параметров. Представим  $W_n(b)$  в виде

$$bw_a^n(1 - w_a)^{N-n} = b_n \exp(F(b)), \quad (6)$$

где

$$F(b) = \ln(w_a^n(1 - w_a)^{N-n}) \quad (7)$$

и ограничимся разложением функции  $F(b)$  в ряд Тейлора в окрестности точки  $b_n$  с точностью до квадратичных членов включительно. Для первой и второй производных функции  $F(b)$  в точке  $b_n$  имеем

$$\begin{aligned} F'(b_n) &= 0, \\ F''(b_n) &= -N^3(w'_a(b_n))^2/(n(N-n)). \end{aligned} \quad (8)$$

Для эффективной ширины максимума  $\gamma_n$  можно тогда записать

$$\gamma_n = \left( \frac{n(N-n)}{N^3(w'_a(b_n))^2} \right)^{1/2}$$

и, оценивая производную функции  $w_a(b)$  в промежуточной области прицельных параметров как  $w'_a(b) \simeq w_a(b_s)/\Delta b$ , где  $\Delta b \sim 1$  — размер этой области, находим, что эффективная ширина меняется от  $\gamma_{\max} \sim N^{-1/2}$  (при  $n = N/2$ ) до  $\gamma_{\min} \sim N^{-1}$  (при  $N - n \sim 1$ ), т. е. эти максимумы действительно являются узкими, если точка  $b_n$  находится в области промежуточных прицельных параметров. В этом случае величина интеграла (5) определяется малой окрестностью точки  $b_n$  и мы можем вычислить его, ограничиваясь в разложении для функции  $F(b)$  членами до квадратичных включительно.

Отметим сразу, что высказанное не имеет места при  $1 \ll n \ll N$ , когда  $w_a(b_n) \ll 1$  и соответственно  $w_a(b) = \beta Z^2/b^2 v^2$  при  $b \simeq b_n$ . В этом случае для ширины максимума имеем  $\gamma_n \sim (N/n)^{1/2}$ , т. е. при  $N \gg n$  он является широким. Однако в последнем случае для описания ионизации можно попытаться воспользоваться теорией возмущений по полю МЗИ [16], и здесь мы рассматривать его не будем. С учетом выражений (5)–(8) для сечений находим

$$\sigma_n = \frac{2\pi b_n}{z_n^2} \binom{N}{n} \frac{n^n (N-n)^{N-n}}{N^N |w'_a(b_n)|} \left( \frac{2\pi n(N-n)}{N^3} \right)^{1/2} \quad (9)$$

Если не только  $N \gg 1$ ,  $n \gg 1$ , но и  $N - n \gg 1$ , то, используя для представления факториалов, входящих в (9), формулу Стирлинга  $m! = (2\pi)^{1/2} m^{m+1/2} \exp(-m)$  (см., например, [17]), выражение для сечений можно существенно упростить

$$\sigma_n = \frac{2\pi b_n}{z_n^2 |w'_a(b_n)| N}. \quad (10)$$

Поскольку формула Стирлинга дает хорошее представление и для факториалов малых чисел, то выражение (10) можно использовать также для оценки сечений и при  $N - n \sim 1$ . С учетом приближенных соотношений

$$w'_a(b_n) \simeq \frac{w_a(b_{n+1}) - w_a(b_n)}{b_{n+1} - b_n} = 1/(N(b_{n+1} - b_n))$$

и

$$b_{n+1} \simeq b_n + \frac{db_n}{dn}$$

выражение (10) может быть переписано также в виде:

$$\sigma_n \simeq z_n^{-2} \left| \frac{d(\pi b_n^2)}{dn} \right|, \quad (11)$$

т. е. сечение ионизации пропорционально скорости, с которой уменьшается с ростом  $n$  площадь круга радиуса  $b_n$ .

Дальнейшее упрощение (10) вряд ли возможно без привлечения более конкретных представлений о виде зависимости  $w_a(b)$  в области промежуточных прицельных параметров. Однако если для  $w_a(b)$  имеются результаты численных расчетов или  $w_a(b)$  исходно задана в виде простой модельной функции [18], то формула (10) может быть весьма полезна. Ниже, основываясь на выражениях (10), (11) и результатах наших численных расчетов для  $w_a(b)$ , мы получаем простое рекуррентное соотношение для сечений многоэлектронной ионизации, а также оценки для абсолютных значений этих сечений.

Анализ показывает, что зависимость  $w_a(b)$  для ионизации из  $1S$ -состояния, приведенная на рис. 1, в области прицельных параметров, где  $w_a(b)$  уже заметно меньше единицы, но все еще не очень мала, с погрешностью, не превосходящей нескольких процентов, аппроксимируется функцией  $w_a(b) = \exp(-A_1 b^2 - A_2 b - A_3)$ , где  $A_1 = 0.0256$ ,  $A_2 = 0.7578$ ,  $A_3 = -0.8122$  ( $1.5 < b < 2.7$ ). Подставляя эту функцию в (10), получаем, что  $\sigma_n \sim z_n^{-2} n^{-1}$  с точностью до малосущественного логарифмического члена. Для вероятностей ионизации из исходных  $2S$ - и  $2P$ -состояний (в последнем случае проводилось усреднение по проекциям углового момента исходного состояния), которые также представлены на рис. 1, подобный же анализ показывает, что  $w_a(b) = \exp(-A_1 b^2 - A_2 b - A_3)$ , где  $A_1 = 0.092$ ,  $A_2 = -0.1014$ ,  $A_3 = -0.2437$  для  $2S$  и  $A_1 = 0.0624$ ,  $A_2 = -0.049$ ,  $A_3 = -0.088$  для  $2P$ ;  $2.5 < b < 4.8$ , и мы вновь приходим к зависимости  $\sigma_n \sim z_n^{-2} n^{-1}$ . В общем случае очевидно, что если вероятность  $w(b)$  может быть аппроксимирована в промежуточной области  $b$  как  $\exp(-f(b))$ , где  $b/f'(b)$  — медленно меняющаяся в сравнении с  $\exp(f(b))$  функция  $b$ , то для сечений (10) будет иметь место асимптотическая зависимость  $\sigma_n \sim z_n^{-2} n^{-1}$ . Отметим также, что простейшая экспоненциальная аппроксимация  $w(b) = A \exp(-ab)$  использовалась для расчета многоэлектронной ионизации в [18].

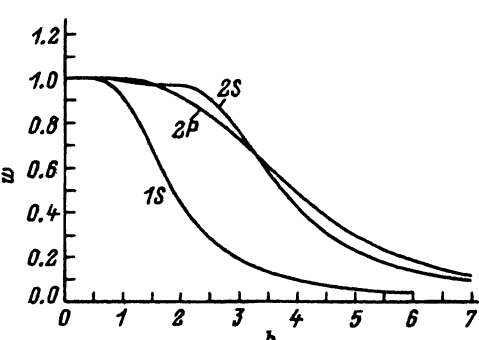


Рис. 1. Вероятность ионизации атома водорода из  $1S$ -,  $2S$ - и  $2P$ -исходных состояний как функции прицельного параметра ( $Z = 25$ ,  $v = 25$ ).

Из зависимости  $\sigma_n \sim z_n^{-2} n^{-1}$  следует простое рекуррентное соотношение для сечений ионизации различной (большой) кратности

$$n z_n^2 \sigma_n \simeq n' z_{n'}^2 \sigma_{n'}; \quad 1 \ll n, \quad n' < N. \quad (12)$$

Оценим величины эффективных зарядов. Для этого удобно использовать формулу (11). Анализ численных расчетов (рис. 1) показывает, что  $b_n \sim b_s \sim k$ , где  $k$  — главное квантовое число исходного связанныго состояния. Простые полуклассические оценки на основе сравнения между средней энергией, передаваемой электрону при столкновении, которую можно оценить как  $2Z^2/b^2 v^2$  (см., например, [15]), и энергией связи, которая пропорциональна  $k^{-2}$ , приводят к той же зависимости  $b_n \sim b_s \sim k$ . Поэтому мы будем считать, что  $z_n^2/b_n^2 \sim \bar{\varepsilon}_n$ , где  $\bar{\varepsilon}_n$  — средняя (на один электрон из рассматриваемой оболочки) энергия связи. Далее естественно положить  $n \bar{\varepsilon}_n \simeq I_n$ , где  $I_n$  — минимальная энергия, необходимая для отрыва  $n$  электронов. С учетом (11) и (12) имеем

$$\sigma_n I_n \simeq \sigma_{n'} I_{n'}; \quad 1 \ll n, \quad n' < N. \quad (13)$$

Это выражение получено для ионизации из внешней оболочки, за исключением случая  $n = N$ , когда важен учет ионизации из следующей оболочки, приводящей к эффективному “обрезанию” вероятности  $W_n(b)$  при  $n = N$  в области малых прицельных параметров. Однако, если различия между атомными оболочками невелики (возмущение является внезапным, а вероятности  $w_n(b)$  насыщаются при малых  $b$  для всех рассматриваемых электронов), то формула (13) может быть применена для описания ионизации в рамках этих оболочек как “делого”.

На рис. 2, 3 представлено сравнение между результатами, получаемыми с использованием формулы (13), и экспериментальными данными [19] по ионизации атомов иода (ионами  $U^{+91}$ , 420 МэВ/а.е.м.,  $v \simeq 100$  а.е.) и ксенона ( $U^{+75}$ , 15.5 МэВ/а.е.м.,  $v \simeq 25$  а.е.). Здесь же представлены результаты теоретических расчетов, приведенных в [19]. В формуле (13) мы использовали для величин  $I_n$  данные из [20] (иод и ксенон,  $n \leq 10$ ). Оценивая сечения с помощью (13), мы выбрали следующую “привязку” к эксперименту:  $\sigma_7 = \sigma_{7\text{эксп}}$ . Отметим, что другой ее выбор существенно не меняет согласия с экспериментальными данными (так, если взять для иода  $\sigma_6 = \sigma_{6\text{эксп}}$ , то имеем  $\sigma_{27} \simeq \sigma_{27\text{эксп}}$ ). Из

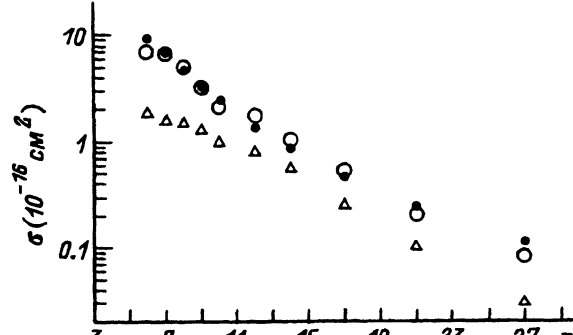


Рис. 2. Сечения ионизации атомов иода ионами  $U^{+91}$  (420 МэВ/а.е.м.). Кружки и треугольники — соответственно экспериментальные и теоретические данные, приведенные в [19]; точки — результаты, полученные по формулам (13), (14).

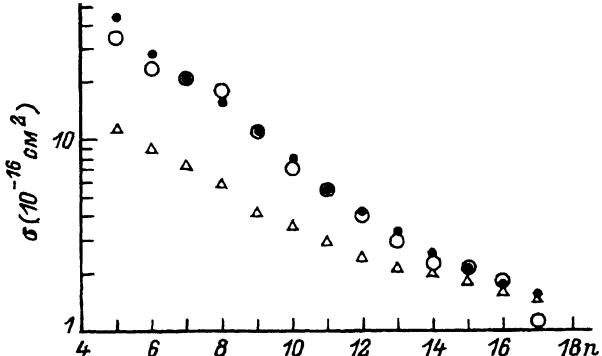


Рис. 3. Сечения ионизации атомов ксенонов ионами  $U^{+75}$  (15.5 МэВ/а.е.м.).  
Остальные параметры те же, что и на рис. 2.

имеющихся в [20, 21] данных следует простое приближенное соотношение  $I_n \sim n^3$ , и мы имеем

$$n^3 \sigma_n \simeq n^3 \sigma_n; \quad 1 \ll n, \quad n' < N. \quad (14)$$

Это выражение мы использовали для оценок сечений ионизации иода и ксенона при  $n > 10$ .

Выделим теперь приближенно зависимость сечений от параметров МЗИ  $Z$ ,  $v$  в явном виде. Поскольку  $b_n \sim b_s \sim Z/v$ , то из (11) следует  $\sigma_n \sim Z^2/v^2$ , т. е. для любых  $n \gg 1$  мы имеем приблизительно одинаковую зависимость от  $Z$ ,  $v$ . Предыдущие оценки для многоэлектронной ионизации атомов быстрыми МЗИ [11] также показывают, что  $\sigma_n \sim Z^2/v^2$  ( $n \geq 2$ ) в случае, если вероятность  $w_a(b)$  насыщается при малых  $b$ . Комбинируя зависимость  $\sigma_n \sim Z^2/v^2$  с рекуррентным соотношением (13) можно предложить следующее простое выражение для сечений многоэлектронной ионизации:

$$\sigma_n \simeq AI_n^{-1}Z^2/v^2; \quad n \gg 1, \quad (15)$$

где  $A$  — постоянная для данного атома (атомной оболочки) величина, которая может быть определена, например, из сравнения с экспериментальными данными. Ряд таких данных по ионизации аргона представлен в [19]. Анализируя их для случая, когда скорости МЗИ гораздо меньше скорости света, мы получаем, что  $A \simeq 270$  (если сечения измерять в единицах  $10^{-16} \text{ см}^2$ ,  $I_n$  в эВ и  $v$  в а.е.). На рис. 4, 5 представлено

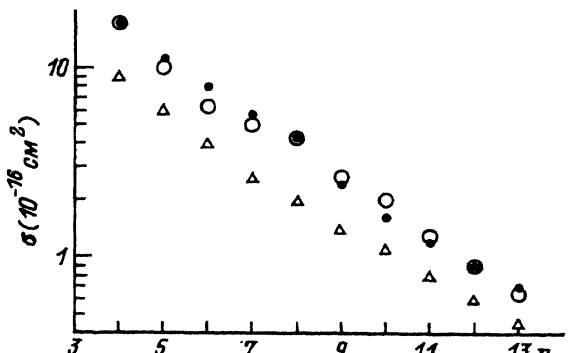


Рис. 4. Сечения ионизации атомов аргона ионами  $U^{+75}$  (15.5 МэВ/а.е.м.).

Кружки и треугольники — соответственно экспериментальные и теоретические данные, приведенные в [19]; точки — результаты, полученные по формуле (15).

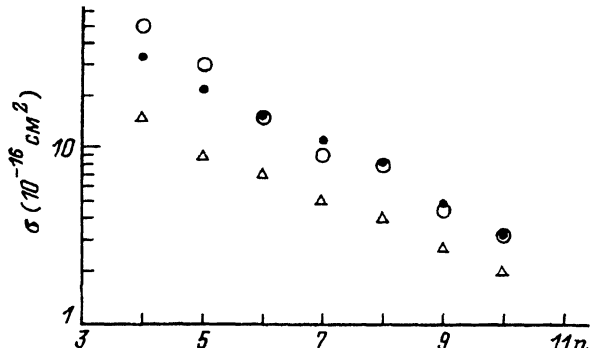


Рис. 5. Сечения ионизации атомов аргона ионами  $U^{+65}$  (5.9 МэВ/а.е.м.).  
Остальные параметры те же, что и на рис. 4.

сравнение расчетов по формуле (15) с экспериментальными и теоретическими данными по ионизации аргона ионами  $U^{+65}$  (5.9 МэВ/а.е.м.,  $v = 15.4$  а.е.) и  $U^{+75}$  (15.5 МэВ/а.е.м.,  $v = 25$  а.е.), приведенными в [19]. При этом для определения величин  $I_n$  мы использовали данные из [21] ( $n \leq 18$ ). Отметим, что для очень больших  $n$  согласие наших результатов с экспериментальными данными становится хуже. Причиной для этого расхождения может быть, по нашему мнению, следующее: для рассматриваемых значений скорости возмущение уже не является внезапным для внутренних, сильно связанных электронов и в этом случае наш подход, основанный на приближении внезапных возмущений, приводит к завышенным значениям для вероятности  $w_a$  и соответственно для сечений.

### Список литературы

- [1] Cocke C.L., Olson R.E. // Phys. Rep. 1991. Vol. 205. P. 205.
- [2] McGuire J.H. // Adv. At. Mol. Opt. Phys. 1992. Vol. 29. P. 217–323.
- [3] Eichler J. // Phys. Rev. 1977. Vol. A15. P. 1856.
- [4] Дыхне А.М. и Юдин Г.Л. // УФН. 1978. Т. 125. С. 377.
- [5] Sidorovich V.A., Nicolaeu V.S., McGuire J.H. // Phys. Rev. 1985. Vol. A31. P. 2139.
- [6] Nicolaeu V.S., Sidorovich V.A. // Nucl. Instr. Meth. 1988. Vol. B36. P. 239.
- [7] Bransden A., McDowell R. Charge Exchange and the Theory of Ion-atom collisions. Oxford: Clarendon Press, 1992.
- [8] Reinholt C.O., Falcon C.A. // J. Phys. 1988. Vol. B21. P. 1829.
- [9] Voitkov A.B., Pazdersky V.A. // J. Phys. 1988. Vol. B21. P. 3469.
- [10] Войткив А.Б., Коваль А.В. // ЖТФ. 1994. Т. 64. Вып. 3. С. 181.
- [11] Alimov R.A., Pazdersky V.A., Voitkov A.B. // J. Phys. 1989. Vol. B22. P. 1346.
- [12] Schlahter A.S., Groh W., Muller A. et al. // Phys. Rev. 1982. Vol. A26. P. 1373.
- [13] Reinholt C.O., Falcon C.A., Miraglia J.E. // J. Phys. 1987. Vol. B20. P. 3737–3745.
- [14] Mott N.F., Massey H.S.W. The Theory of Atomic Collisions. Oxford, 1965.
- [15] Войткив А.Б., Матвеев В.И. // ЖТФ. 1994. Т. 64. Вып. 7. С. 188.
- [16] Ben-Itzhak I., Gray T.J., Legg J.S., McGuire J.H. // Phys. Rev. 1988. Vol. A37. P. 3685.
- [17] Абрамович М., Стиган И. Справочник по специальным функциям. М.: Наука, 1979.
- [18] DuBois R.D., Manson S.T. // Phys. Rev. 1987. Vol. A35. P. 2007.
- [19] Ullrich J., Schmidt-Bocking H., Kelbch S. et al. // Nucl. Instr. Meth. 1987. Vol. B23. P. 131–136.
- [20] Кикоин И.И. Таблицы физических величин. М.: Атомиздат, 1976.
- [21] Радигз А.А., Смирнов В.М. Параметры атомов и атомных ионов. М.: Энерготомиздат, 1986.